

京都大学防災研究所

正会員

高橋 保

三井建設

"

八木秀樹

1.はじめに 淀床堆積物上に表面流が発生して生ずる土石流については、その発生条件がかなり明確となり、発生する土石流の流量予測もある程度可能である。しかし、土石流はこのような機構によるものだけではなく、崩壊上が一時的に谷を堰止め、水の貯留の進行とともに決壊して発生するものも多いことが指摘されている。本研究はこのような場合の、天然ダムの決壊過程と発生土石流の流量予測を対象とするものである。

2.天然ダムの破壊形式 土石流が発生可能なような勾配に設定した一様幅の

水路内に三角形状の天然ダムを形成して、上流から給水したところ、図-1に示

したように、大別して二種類の破壊形態が生ずることがわかった。(a)は越流か

生じて激しい表面侵食によって堤体が削られしていくもの、(b)は法先部にすず崩

壊が発生し、順次とみが進上して、ついに一巻に堤体が崩れ去るものである。これらの差は、堤体内に生ずる浸透流下流側の法面に現われる時刻と、越流が生ずるようになる時刻のど

ちらが早く生ずるかによることでわかれるので、ダム上部で貯水位が上昇す

る条件下の浸透流の解析を行うことにより、発生する破壊形式の分類が可

能である。解析の結果は、例えば図-2のようになる。ここで、縦軸は浸透流加各(θ/γ)の高さに傾き出すまでに必要な時間を示している。横は貯

水係数である。図は供給水量 Q_{in} をパラメータとして示されているが、これ

が小さいときには、 $0 < \theta/\gamma < 1$ において最小値を持ち、この時刻に下流法

面に初めて浸透流が顕を出す。このとき、まだ越流は生じていないので、

崩壊が先行する可能性がある。一方、供給水量の大きいときには、最小値

は $\theta/\gamma = 1.0$ で生ずる。すなわち、越流が先行することになる。実験によれば、越流が始まるよりも先に下流法

面に浸潤線が顕を出してても、崩壊が発生するまでは少し時間がかかり、図-2に点線で示しているように、堤体の一番下の部分から浸透流が出てようになるまでの時間と、越流が生ずるようになるまでの時間の大小によって、崩壊先行型と越流先行型に分けられるようである。

3.越流先行型の解析 比較的乾いた土塊によって天然ダムが形成されたものとすれば、越流水による侵食は、

浸透流が及んでいるところでは、ほぼ河床に平行に起り、それより下流では、下流側法面にはほぼ平行に侵食される。

そこで、図-3のよう形で侵食が進んでいくものとしてモデル化する。こ

こで、太線はある時刻での堤体の形状であり、点々を施した部分は飽和化部になら、といふ。又は越流開始時までに浸潤線が進んだ距離で、浸潤線の前線が直

線となしていて、河床と $(\phi_u - \theta)$ の角となしていふとすれば、 $X = (D-t)B$ 、 $T=tB$ 、

$B = \cot(\phi_u - \theta) + \cot(\phi_u + \theta)$ である。また、 χ' は越流開始後に浸潤線が進んだ

長さで、浸透に対して有効な空隙率を γ とすれば、 $\chi' = \gamma \sin \theta \cdot t / Y$ である。

堤体の高さがたになら、たときの貯水池からの流出流量および侵食による砂礫

の流量は、それから $Q_{out} = Q_{in} - A h \frac{dh}{dt} - \gamma h \sin \theta$ ただし、 $A = \frac{1}{\tan \theta} \frac{\sin \phi_u}{\sin(\phi_u + \theta)}$

$$Q_d = C_d \frac{dV}{dt} = -C_d \left[\left(\frac{1}{Y} - 2B \right) R \frac{dR}{dt} + DB \frac{dR}{dt} + \frac{\gamma \sin \theta}{Y} t \frac{dR}{dt} + \frac{\gamma \sin \theta}{Y} \right] \quad \dots \text{(2)}$$

である。下流へ流出する土石流の濃度が一定値 KC_d をもつものと仮定すれば、

$$KC_d = Q_d / [Q_{out} + Q_d + (1-C_d) \{ -BD \frac{dR}{dt} + BR \frac{dR}{dt} - \frac{1}{2} \frac{\gamma \sin \theta}{Y} t \frac{dR}{dt} + \frac{1}{2} \frac{\gamma \sin \theta}{Y} (D-t) \}] \quad \dots \text{(3)}$$

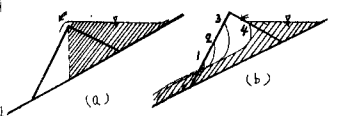


図-1 天然ダムの破壊形態

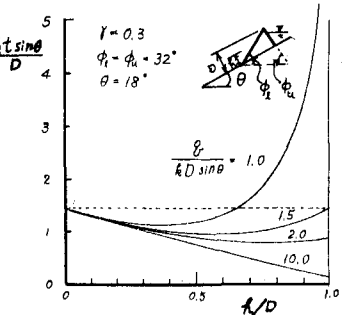


図-2 堤体内の浸透解析

（注） $\gamma = 0.3$, $\phi_u = 32^\circ$, $\theta = 18^\circ$

$Q_{in}/D_{sing} = 1.0$

1.5, 2.0, 10.0

t/γ

0 0.5 1.0

θ/γ

0 0.5 1.0

t/γ

0 0.5 1.0

0 0.5 1.0

0 0.5 1.0

0 0.5 1.0

0 0.5 1.0

0 0.5 1.0

0 0.5 1.0

0 0.5 1.0

0 0.5 1.0

0 0.5 1.0

0 0.5 1.0

0 0.5 1.0

0 0.5 1.0

0 0.5 1.0

0 0.5 1.0

0 0.5 1.0

0 0.5 1.0

0 0.5 1.0

0 0.5 1.0

0 0.5 1.0

0 0.5 1.0

0 0.5 1.0

0 0.5 1.0

0 0.5 1.0

0 0.5 1.0

0 0.5 1.0

0 0.5 1.0

0 0.5 1.0

0 0.5 1.0

0 0.5 1.0

0 0.5 1.0

0 0.5 1.0

0 0.5 1.0

0 0.5 1.0

0 0.5 1.0

0 0.5 1.0

0 0.5 1.0

0 0.5 1.0

0 0.5 1.0

0 0.5 1.0

0 0.5 1.0

0 0.5 1.0

0 0.5 1.0

0 0.5 1.0

0 0.5 1.0

0 0.5 1.0

0 0.5 1.0

0 0.5 1.0

0 0.5 1.0

0 0.5 1.0

0 0.5 1.0

0 0.5 1.0

0 0.5 1.0

0 0.5 1.0

0 0.5 1.0

0 0.5 1.0

0 0.5 1.0

0 0.5 1.0

0 0.5 1.0

0 0.5 1.0

0 0.5 1.0

0 0.5 1.0

0 0.5 1.0

0 0.5 1.0

0 0.5 1.0

0 0.5 1.0

0 0.5 1.0

0 0.5 1.0

0 0.5 1.0

0 0.5 1.0

0 0.5 1.0

0 0.5 1.0

0 0.5 1.0

0 0.5 1.0

0 0.5 1.0

0 0.5 1.0

0 0.5 1.0

0 0.5 1.0

0 0.5 1.0

0 0.5 1.0

0 0.5 1.0

0 0.5 1.0

0 0.5 1.0

0 0.5 1.0

0 0.5 1.0

0 0.5 1.0

0 0.5 1.0

0 0.5 1.0

0 0.5 1.0

0 0.5 1.0

0 0.5 1.0

0 0.5 1.0

0 0.5 1.0

0 0.5 1.0

0 0.5 1.0

0 0.5 1.0

0 0.5 1.0

0 0.5 1.0

0 0.5 1.0

0 0.5 1.0

0 0.5 1.0

0 0.5 1.0

0 0.5 1.0

0 0.5 1.0

0 0.5 1.0

0 0.5 1.0

0 0.5 1.0

0 0.5 1.0

0 0.5 1.0

が成立する。 $\theta_{\text{in}} \gg \theta_{\text{in}} \sin \theta$ のときの(3)式の解は

$$T = \frac{b}{d^2 K} Q_0 - \frac{B(1-K)}{d K} - \frac{bH}{dK} + \left\{ \frac{b+B(1-K)}{dK} - \frac{b}{d^2 K} Q_0 \right\} \exp \left\{ \frac{d}{Q_0} (1-H) \right\} \quad \dots (4)$$

となる。ここで、 $T = \theta_{\text{in}} \sin \theta / (bY)$, $H = R/d$, $Q_0 = T \theta_{\text{in}} / (b d \sin \theta)$, $b = (\frac{L}{D} - 2B) - K(A + \frac{1}{D} C_s - BC_s - B)$, $\alpha = \{1 - \frac{1}{2}(1+C_s)\}K\}/K$ である。

(4)式の数値計算結果と実験値との比較の一例を図-4に示す。堤体高の減少傾向がかなり精度よく計算されている。また、これによると土石流の流量を計算すれば、図-4の実験ケースの場合、供給水量の3倍程度となり、この値はまた実験結果とよく合致している。ただし、 $\theta_{\text{in}} = 90^\circ$, $C_s = 2.6$, $K = 0.62$, $R = 0.7 \text{ cm/sec}$ としている。

4. 洪壩先行型の解析 この場合、初期に法先付近で崩壊した土砂はゆっくりと運動を継続するか、その間に崩壊がダム天端に向へ遡上し、やがて大規模な洪壩が生じて一挙に貯留水が流出し、全体がまとめて土石流となる。したがって、このような過程を単純化すれば、通常のダム洪壩に対する理論的な取扱いの適用が可能になると考えられる。ただし、通常のダム洪壩と違う点は、天然ダムの場合には堤体のための体積が大きく、堤体材料そのものの排水と一緒にて下流へ流下し、したがって抵抗則も水の場合と異なる点である。ダム洪壩に基づく淡水については種々の取扱いがなされており、河床勾配が急で、貯水量が有限である場合には、堤体からかなり離れて下流部を対象とすれば、Kinematic Wave理論の適用が可能である。Huntの解析に従うばく以下のようである。図-5のように、ダムと貯留水が洪壩の瞬間に同一様に混合して、図に示すとおり斜面を走して示したような絶縁形状をもつていて、これで運動を開始すると考える。基礎方程式は、等流式(5)と連続式(6)である。

$$\theta = \alpha R^p (\sin \theta)^{1/2} \quad \dots (5), \quad \frac{\partial H}{\partial t} + \frac{\partial \theta}{\partial x} = 0 \quad \dots (6)$$

ここでは、指数 p はダイラタント流体では $5/2$, Chezy式では $3/2$ である。基礎方程式を解くべき境界・初期条件は

$$\begin{aligned} R(x, 0) &= \frac{H_0 x}{L}; \quad 0 \leq x \leq L, \quad R(x, 0) = 0; \quad -\infty < x \leq 0, \quad L < x < \infty \\ \frac{dR(t)}{dt} &= U(x, t); \quad 0 \leq t < \infty, \quad x_L(0) = L \end{aligned} \quad \dots (7)$$

である。したがって、解は $x = H + p T H^{(p-1)}$ $\dots (8)$ となる。ここで、 $x = \frac{H}{H_0}$, $H = R/H_0$, $T = Ut/L$, $U = \alpha H^{(p-1)} (\sin \theta)^{1/2}$ である。ところが、ダム洪壩による進行波の先端部では Kinematic Shock Front 形成され、それが shock front の位置、時間はそれなりに $x_s = \frac{b-2}{2(p-1)} H_0 + \frac{b}{2(p-1)} H_0^{(p-1)} \dots (9)$, $T_s = \frac{1}{2(p-1)} \frac{1-H_0^2}{H_0^p} \dots (10)$ である。ここで、 x_s の大きさが、流量は $\theta = \frac{1}{2} L H_0 / (b p) + \dots (11)$ となる。

図-6は(9)式の関係を示したもので、流下に伴う先端波高の低下の様子を示している。下流へ行くに従って波高が小さくなり通常流に近づくことがわかる。図-7の実験は天然ダムの下流の3点で流動率の時間的变化を測定した例である。破線はダイラタント流体の流動式によることで求め、(6)式によることで各位置での理論的な波高変化を計算した結果である。ただし、時間の0点は最上流の觀測点で水位ピークが現れた時刻が理論値と一致するように選んである。図より、流下するに従って、理論と実験の一一致の程度がよくなることがわかる。すなわち、St. 1 の実験値は、かなり早くから上昇しているが、これは法先付近の崩壊土砂が徐々に移動していったためである。図-7 国定点における波浪形状このようだゆるくと運動する部分で、段波にまとめて一体化し、下流では理論の適用性が悪くなる。

5. おわりに 天然ダム洪壩による土石流には二種類があることを述べ、それらの取扱い方法を提示した。粒径が小さく、水深の大きい場合の土石流の抵抗則についてはまだ問題が残されており、洪壩型に対する理論の適用性についてもさうに検討の必要がある。

[参考文献] Hunt, B., J. Hydraulics Div. ASCE, Vol. 108, No. HT1, 1982.

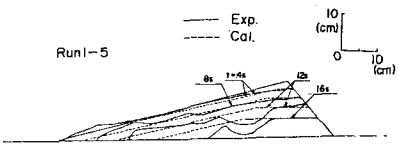


図-4 洪壩先行型の計算値と実験値

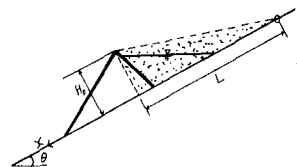


図-5 洪壩先行型のモデル

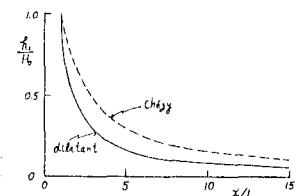


図-6 段波先端部の位置

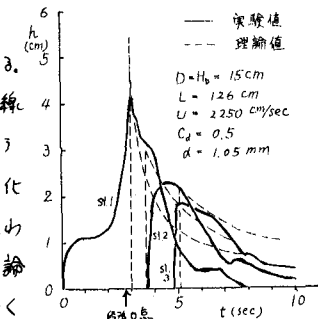


図-7 国定点における波浪形状